

## МАТЕМАТИЧЕСКОЕ МОДЕЛИРОВАНИЕ ВЗАИМОДЕЙСТВИЯ НЕОРИЕНТИРОВАННЫХ ВЫПУКЛЫХ МНОГОГРАННИКОВ

**Ключевые слова:** математическое моделирование,  $\Phi$ -функция, неориентированные выпуклые многогранники, оптимизационная задача упаковки.

### ВВЕДЕНИЕ

Широкий круг важных практических задач, которые возникают в различных отраслях промышленности и науки, сводятся к моделированию взаимодействия многогранников. К таким задачам относятся, например, прикладные задачи геометрического проектирования [1], которые связаны с обработкой сложной геометрической, аналитической и логической информации с целью оптимизации размещения геометрических объектов в соответствии с заданным критерием качества, а также задачи, возникающие в робототехнике [2].

В настоящее время в классе задач размещения трехмерных геометрических объектов наименее изученными являются задачи размещения трехмерных неориентированных объектов, для которых допускаются аффинные преобразования не только трансляции, но и непрерывного поворота. Эти задачи имеют важное теоретическое и практическое значение [3]. Так, например, задача размещения неориентированных многогранников может применяться в САПР при создании прототипов промышленных изделий с использованием лазерной технологии избирательного спекания специального порошка [4]. Кроме того, данная задача применяется для трехмерного моделирования, визуального и количественного анализа структурных особенностей и механических свойств различных твердых, жидких, стекловидных материалов, гранулированных сред, гетерогенных материалов и биологических систем [5, 6]. Следует отметить, что задача упаковки многогранников также применяется при внедрении материалосберегающих технологий [7] и при определении объема багажника автомобиля в соответствии с европейскими нормами [8].

По своей постановке задачи размещения трехмерных геометрических объектов являются оптимизационными. Однако в настоящее время существует проблема применения методов локальной и глобальной оптимизации для решения задач размещения неориентированных 3D объектов. Это обусловлено отсутствием конструктивных средств математического моделирования взаимодействия этих объектов.

В настоящее время при решении задачи трехмерной упаковки ввиду сложности задач авторы традиционно используют только шары и правильные ориентированные многогранники. При этом для решения задач применяют сумму Минковского, которая может успешно использоваться для решетчатой упаковки объектов [9].

Обзору современных методов моделирования отношений включения, пересечения и касания геометрических объектов посвящена статья [10]. В настоящей работе отмечено, что одним из перспективных подходов для построения адекватных математических моделей задач размещения и упаковки является метод  $\Phi$ -функций [11]. В работе [12] показано, что метод  $\Phi$ -функций позволяет улучшить результаты решения задач упаковки геометрических объектов в результате применения современных методов оптимизации.

В работе [13] построены Ф-функции для базовых ориентированных 3D объектов, границы которых имеют одну из следующих форм: шар, параллелепипед, конус, цилиндр. Статья [14] посвящена построению Ф-функции для двух выпуклых ориентированных многогранников. Методы решения задачи упаковки ориентированных многогранников рассмотрены в [4, 15].

Поскольку фундаментальной основой математического моделирования оптимизационных задач упаковки неориентированных многогранников является аналитическое описание отношений их включения, пересечения и касания, то целью данной статьи является построение Ф-функции для двух неориентированных выпуклых многогранников.

#### ПОСТАНОВКА ЗАДАЧИ

Пусть заданы выпуклые многогранники

$$P_i = \{X = (x, y, z) \in R^3: f_{ij}(X) = A_{ij}x + B_{ij}y + C_{ij}z + D_{ij} \leq 0, \\ j \in G_i = \{1, 2, \dots, \delta_i\}, i = 1, 2.$$

Введем следующие обозначения:  $H_{ij}$  — грани  $P_i, j \in G_i$ ;  $p_{ij} = (x_{ij}, y_{ij}, z_{ij})$  — вершины  $P_i, j \in W_i = \{1, 2, \dots, w_i\}$ , заданные относительно собственной системы координат  $O_i x'_i y'_i z'_i$  многогранника  $P_i$ ;  $e_{it} = [p_{it_1}, p_{it_2}]$  — ребра  $P_i, t \in T_i = \{1, 2, \dots, \zeta_i\}, t_1, t_2 \in W_i$  (согласно формуле Эйлера  $\zeta_i = w_i + \delta_i - 2$ ).

Многогранник  $P_i$  может быть транслирован на вектор  $v_i = (x_i, y_i, z_i)$  и повернут на углы  $\alpha_i, \beta_i, \gamma_i, i = 1, 2$ , вокруг осей  $Ox, Oy$  и  $Oz$  соответственно. Матрицу преобразования поворота, которая переводит точку, заданную относительно повернутой на углы  $\alpha_i, \beta_i, \gamma_i$  собственной системы координат  $O_i x'_i y'_i z'_i$  многогранника  $P_i$ , в точку, заданную относительно неподвижной системы координат  $Oxyz$ , представим в виде

$$R_i = \begin{pmatrix} g_i \\ r_i \\ q_i \end{pmatrix} = \begin{pmatrix} g_{i1} & g_{i2} & g_{i3} \\ r_{i1} & r_{i2} & r_{i3} \\ q_{i1} & q_{i2} & q_{i3} \end{pmatrix}, \quad (1)$$

где  $g_{i1} = \cos \beta_i \cos \gamma_i, g_{i2} = -\cos \beta_i \sin \gamma_i, g_{i3} = \sin \beta_i; r_{i1} = \sin \alpha_i \sin \beta_i \cos \gamma_i + \cos \alpha_i \sin \gamma_i, r_{i2} = -\sin \alpha_i \sin \beta_i \sin \gamma_i + \cos \alpha_i \cos \gamma_i, r_{i3} = -\sin \alpha_i \cos \beta_i; q_{i1} = -\cos \alpha_i \sin \beta_i \cos \gamma_i + \sin \alpha_i \sin \gamma_i, q_{i2} = \cos \alpha_i \sin \beta_i \sin \gamma_i + \sin \alpha_i \cos \gamma_i, q_{i3} = \cos \alpha_i \cos \beta_i$ .

Исходя из вида матрицы (1), получим матрицу преобразования, которая переводит точку из неподвижной системы координат  $Oxyz$  в точку в системе координат  $O_i x'_i y'_i z'_i$ :

$$R'_i = \begin{pmatrix} g'_i \\ r'_i \\ q'_i \end{pmatrix} = \begin{pmatrix} g'_{i1} & g'_{i2} & g'_{i3} \\ r'_{i1} & r'_{i2} & r'_{i3} \\ q'_{i1} & q'_{i2} & q'_{i3} \end{pmatrix},$$

где  $g'_{i1} = \cos \beta_i \cos \gamma_i, g'_{i2} = \sin \gamma_i \cos \alpha_i + \cos \gamma_i \sin \beta_i \sin \alpha_i, g'_{i3} = \sin \gamma_i \sin \alpha_i - \cos \gamma_i \sin \beta_i \cos \alpha_i; r'_{i1} = -\sin \gamma_i \cos \beta_i, r'_{i2} = \cos \gamma_i \cos \alpha_i - \sin \gamma_i \sin \beta_i \sin \alpha_i, r'_{i3} = \sin \alpha_i \cos \gamma_i + \sin \gamma_i \sin \beta_i \cos \alpha_i; q'_{i1} = \sin \beta_i, q'_{i2} = -\cos \beta_i \sin \alpha_i, q'_{i3} = \cos \alpha_i \cos \beta_i$ .

Вектор движения  $P_i$  обозначим  $u_i = (v_i, \theta_i) \in R^6$ , где  $\theta_i = (\alpha_i, \beta_i, \gamma_i)$ . Тогда многогранник  $P_i(\theta_i), i = 1, 2$ , зададим следующей системой неравенств:

$$\begin{cases} f_{i1}(R'_i X^T) \leq 0, \\ f_{i2}(R'_i X^T) \leq 0, \\ \vdots \\ f_{i\delta_i}(R'_i X^T) \leq 0. \end{cases} \quad (2)$$

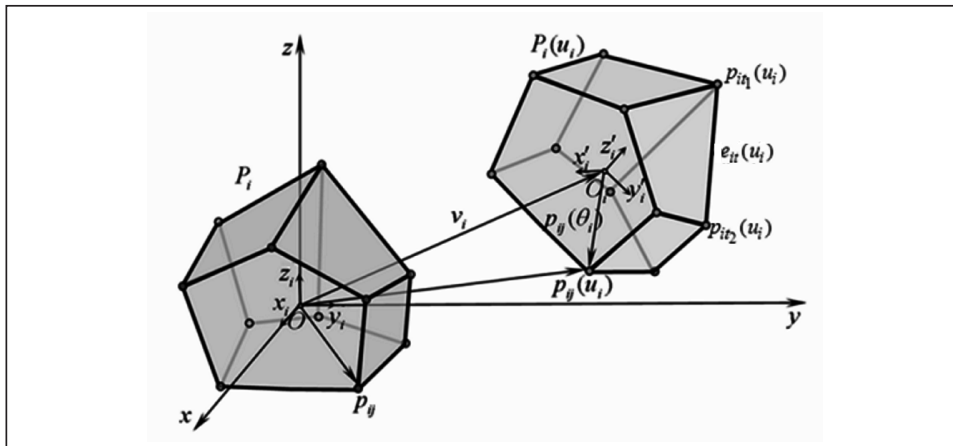


Рис. 1. Многогранник  $P_i(u_i)$ , полученный из многогранника  $P_i$

Для вершин и ребер многогранника  $P_i(u_i)$ ,  $i = 1, 2$ , зададим следующие обозначения (рис. 1):  $p_{ij}(u_i) = v_i + p_{ij}(\theta_i)$ ,  $p_{ij}(\theta_i) = R_i p_{ij}^T$ ,  $j \in W_i$ ,  $e_{it}(u_i) = [p_{i1}(u_i), p_{i2}(u_i)]$ ,  $t \in T_i$ .

**Задача.** Представить в аналитическом виде описание отношений включения, пересечения и касания для пары неориентированных выпуклых многогранников.

Для решения поставленной задачи воспользуемся методом  $\Phi$ -функций [11] и построим для пары неориентированных выпуклых многогранников  $P_1(u_1)$  и  $P_2(u_2)$   $\Phi$ -функцию  $\Phi(u_1, u_2): R^{12} \rightarrow R^1$ , которая удовлетворяет следующим характеристическим свойствам:

- 1)  $\Phi(u_1, u_2) > 0$ , если  $\text{cl } P_1(u_1) \cap \text{cl } P_2(u_2) = \emptyset$ ;
- 2)  $\Phi(u_1, u_2) = 0$ , если  $\text{int } P_1(u_1) \cap \text{int } P_2(u_2) = \emptyset$  и  $\text{fr } P_1(u_1) \cap \text{fr } P_2(u_2) \neq \emptyset$ ;
- 3)  $\Phi(u_1, u_2) < 0$ , если  $\text{int } P_1(u_1) \cap \text{int } P_2(u_2) \neq \emptyset$ ,

где  $\text{cl } A$ ,  $\text{fr } A$  и  $\text{int } A$  — соответственно замыкание, граница и внутренность множества  $A$  [16].

#### МЕТОД ПОСТРОЕНИЯ $\Phi$ -ФУНКЦИИ ДЛЯ $P_1(u_1)$ И $P_2(u_2)$

Предлагаемый метод построения  $\Phi$ -функции основан фактически на моделировании касания двух произвольных неориентированных многогранников. Очевидно, что при любом касании выпуклых многогранников имеет место один или комбинация нескольких типов касания элементов их границ: вершина  $P_1(u_1)$  касается грани  $P_2(u_2)$ ; ребро  $P_1(u_1)$  касается (имеет общие точки) грани  $P_2(u_2)$ ; грань  $P_1(u_1)$  касается (имеет общие точки) грани  $P_2(u_2)$ ; вершина  $P_2(u_2)$  касается грани  $P_1(u_1)$ ; ребро  $P_2(u_2)$  касается (имеет общие точки) грани  $P_1(u_1)$ ; ребро  $P_1(u_1)$  касается (имеет одну общую точку) ребра  $P_2(u_2)$ .

Для неориентированных выпуклых многогранников все возможные касания можно смоделировать, используя следующие три вида касаний:

- 1) вершина  $P_2(u_2)$  касается грани  $P_1(u_1)$ , т.е.  $p_{2j}(u_2) \in \text{fr } P_1(u_1) \cap \text{fr } P_2(u_2)$ ,  $j \in W_2$ , и  $\text{int } P_1(u_1) \cap \text{int } P_2(u_2) = \emptyset$  (рис. 2, а);
- 2) вершина  $P_1(u_1)$  касается грани  $P_2(u_2)$ , т.е.  $p_{1j}(u_1) \in \text{fr } P_1(u_1) \cap \text{fr } P_2(u_2)$ ,  $j \in W_1$ , и  $\text{int } P_1(u_1) \cap \text{int } P_2(u_2) = \emptyset$  (рис. 2, б);
- 3) ребро  $P_1(u_1)$  касается (имеет одну общую точку) ребра  $P_2(u_2)$  (рис. 2, в).

Чтобы в аналитическом виде описать указанные три вида касания, запишем следующее условие касания многогранников. Если  $P_1(u_1)$  и  $P_2(u_2)$  касаются, то

существует, по крайней мере, одна пара точек  $\gamma^*(\theta_1) \in \text{fr } P_1(u_1)$  и  $\gamma^{**}(\theta_2) \in \text{fr } P_2(u_2)$ , для которых выполняется равенство (рис. 3)

$$\gamma^*(\theta_1) = v_2 - v_1 + \gamma^{**}(\theta_2). \quad (3)$$

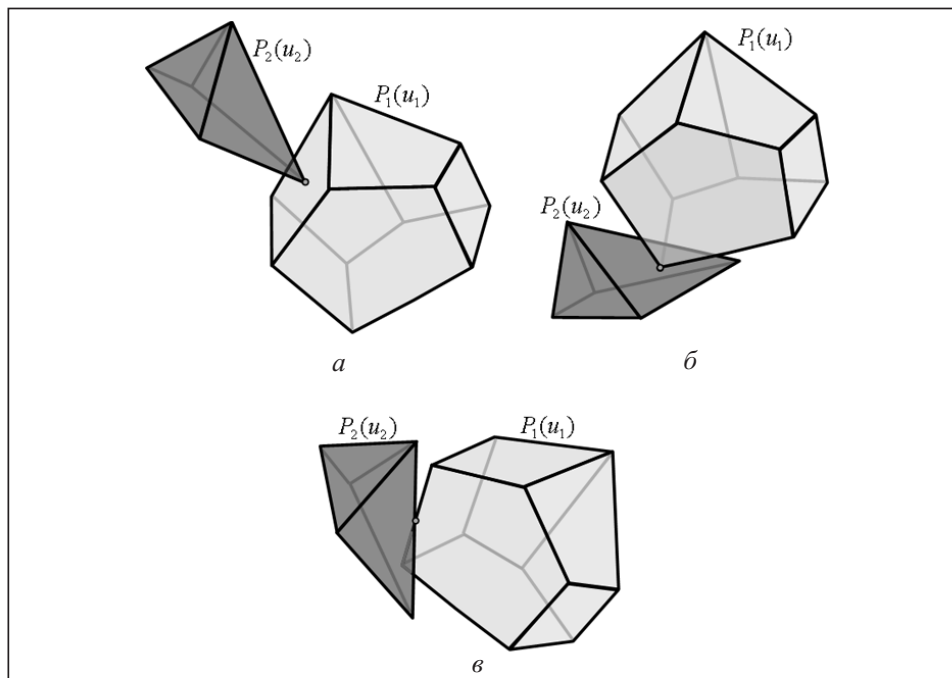


Рис. 2. Виды касания многогранников

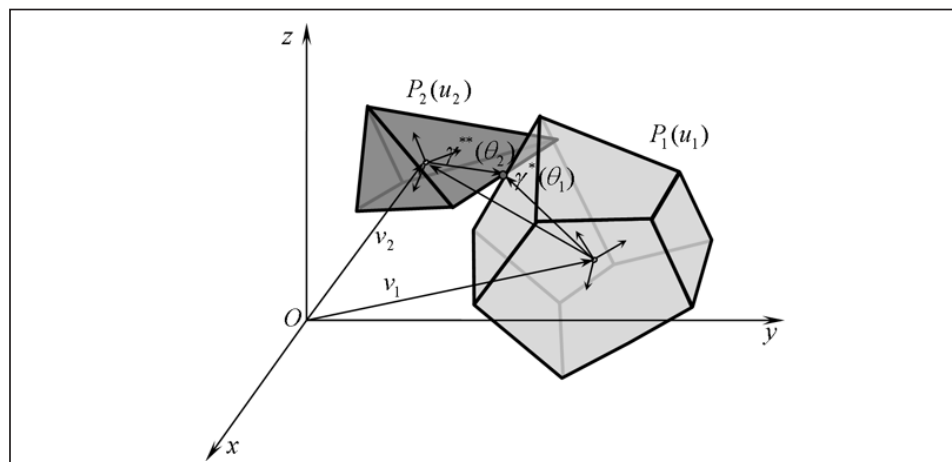


Рис. 3. Касание многогранников

Используя данное условие, выполним аналитическое описание каждого вида касания.

**Первый вид касания.** Пусть вершина  $p_{2j}(u_2) \in P_2(u_2)$  касается грани  $H_{1p} \subset P_1(u_1)$ . Для простоты положим сначала, что  $u_1 = 0$ . Тогда, как следует из (3), плоскость, проходящая через грань  $H_{1p} \subset P_1(0)$ , которая определяется равенством  $f_{1p}(v_2 + p_{2j}(\theta_2)) = 0$ , разделяет  $P_1(0)$  и  $P_2(u_2)$ . Другими словами,

если для  $u_2 \in R^6$  выполняется данное равенство, то  $P_1(0)$  и  $P_2(u_2)$  касаются, по крайней мере, в точке  $p_{2j}(u_2) \in \text{fr } P_1(0) \cap \text{fr } P_2(u_2)$ . Следовательно, если для  $u_2 \in R^6$  выполняется неравенство  $f_{1p}(v_2 + p_{2j}(\theta_2)) \geq 0$ , то  $p_{2j}(u_2) \notin \text{int } P_1(0)$ . Из этого следует, что если неравенство  $\min \{f_{1pj}(v_2 + p_{2j}(\theta_2)), j \in W_2\} \geq 0$  выполняется, то  $p_{2j}(u_2) \notin \text{int } P_1(0), j \in W_2$ . Отсюда если выполняется неравенство

$$\max \{ \min \{ f_{1pj}(v_2 + p_{2j}(\theta_2)), j \in W_2 \}, p \in G_1 \} \geq 0, \quad (4)$$

то многогранники  $P_1(0)$  и  $P_2(u_2)$  не пересекаются.

Положим теперь, что  $u_1 \in R^6$  также является переменной. На основании уравнения  $f_{1p}(R'_1 X) = 0$  из системы (2) и выражения (3) построим уравнение плоскости, проходящей через грань  $H_{1p} \subset P_1(u_1)$  в следующем виде:

$$F_{1pj}(u_1, u_2) = f_{1pj} \left( R'_1(v_2 - v_1 + (R_2 p_{2j}^T)^T)^T \right) = 0. \quad (5)$$

Очевидно, что если  $F_{1pj}(u_1, u_2) \geq 0$  для  $j \in W_2$ , то данная плоскость разделяет  $P_1(u_1)$  и  $P_2(u_2)$ , т.е.  $p_{2j}(u_2) \notin \text{int } P_1(u_1), j \in W_1$ , и  $\text{int } P_1(u_1) \cap \text{int } P_2(u_2) = \emptyset$ . Исходя из выражений (4) и (5), построим функцию

$$\Psi_1(u_1, u_2) = \max \{ \min \{ F_{1pj}(u_1, u_2), j \in W_2 \}, p \in G_1 \}, \quad (6)$$

которая обладает следующим свойством: если  $\Psi_1(u_1, u_2) \geq 0$ , то многогранники  $P_1(u_1)$  и  $P_2(u_2)$  не пересекаются.

**Второй вид касания.** Пусть вершина  $p_{1j}(u_1) \in P_1(u_1)$  касается грани  $H_{2k} \subset P_2(u_2)$ . Тогда, основываясь на уравнении  $f_{2k}(R'_2 X) = 0$  из системы (2) и выражении (3), можно построить уравнение плоскости, проходящей через грань  $H_{2k} \subset P_2(u_2)$ , в виде

$$F_{2kj}(u_1, u_2) = f_{2kj} \left( R'_2(v_2 - v_1 - (R_1 p_{1j}^T)^T)^T \right) = 0. \quad (7)$$

Очевидно, что если  $F_{2kj}(u_1, u_2) \geq 0$  для  $j \in W_1$ , то данная плоскость разделяет  $P_1(u_1)$  и  $P_2(u_2)$ , т.е.  $p_{1j}(u_1) \notin \text{int } P_2(u_2), j \in W_1$ , и  $\text{int } P_1(u_1) \cap \text{int } P_2(u_2) = \emptyset$ . Основываясь на выражении (7), построим функцию

$$\Psi_2(u_1, u_2) = \max \{ \min \{ F_{2kj}(u_1, u_2), j \in W_1 \}, k \in G_2 \}, \quad (8)$$

которая обладает следующим свойством: если  $\Psi_2(u_1, u_2) \geq 0$ , то многогранники  $P_1(u_1)$  и  $P_2(u_2)$  не пересекаются.

Следует отметить, что при моделировании взаимодействия  $P_1(u_1)$  и  $P_2(u_2)$  может возникнуть ситуация, когда  $\Psi_i(u_1, u_2) < 0, i = 1, 2$ , однако  $\text{int } P_1(u_1) \cap \text{int } P_2(u_2) = \emptyset$ . Такая ситуация может возникнуть, например, когда многогранники касаются ребрами (рис. 3, в).

**Третий вид касания.** Пусть ребро  $e_{1j}(u_1) = [p_{1j_1}(u_1), p_{1j_2}(u_1)] \subset P_1(u_1)$  касается ребра  $e_{2t}(u_2) = [p_{2t_1}(u_2), p_{2t_2}(u_2)] \subset P_2(u_2)$ . Тогда плоскость, разделяющая многогранники, будет проходить через эти два ребра. Чтобы построить разделяющую плоскость, совместим вершины  $p_{1j_1}(u_1)$  и  $p_{2t_1}(u_2)$ . В этом случае вектор  $\eta_{jt}(\theta_1, \theta_2)$ , который определяет расположение собственной системы ко-

ординат  $P_2(u_2)$  по отношению к собственной системе координат  $P_1(u_1)$ , определяется формулой  $\eta_{jt}(\theta_1, \theta_2) = p_{1j_1}(\theta_1) - p_{2t_1}(\theta_2)$ . Исходя из этого, вектор  $\tau_{jt}(\theta_1, \theta_2)$ , который определяет координаты  $p_{2t_2}(\theta_2)$  по отношению к собственной системе координат  $P_1(u_1)$ , имеет вид  $\tau_{jt}(\theta_1, \theta_2) = p_{1j_1}(\theta_1) - p_{2t_1}(\theta_2) + p_{2t_2}(\theta_2)$  (рис. 4). Тогда плоскость  $E_{jt}(\theta_1, \theta_2)$ , проходящая через точки  $p_{1j_1}(\theta_1)$ ,  $p_{1j_2}(\theta_1)$  и  $\tau_{jt}(\theta_1, \theta_2)$ , определяется уравнением

$$\Omega_{jt}(X, \theta_1, \theta_2) = (x - g_1 p_{1j_1}^T) \tilde{A}_{jt}(\theta_1, \theta_2) + (y - r_1 p_{1j_1}^T) \tilde{B}_{jt}(\theta_1, \theta_2) + (z - q_1 p_{1j_1}^T) \tilde{C}_{jt}(\theta_1, \theta_2) = 0, \quad j \in T_1, \quad t \in T_2, \quad (9)$$

где коэффициенты  $\tilde{A}_{jt}(\theta_1, \theta_2)$ ,  $\tilde{B}_{jt}(\theta_1, \theta_2)$  и  $\tilde{C}_{jt}(\theta_1, \theta_2)$  определяются через координаты точек  $p_{1j_1}(\theta_1)$ ,  $p_{1j_2}(\theta_1)$  и  $\tau_{jt}(\theta_1, \theta_2)$ .

На основании выражений (3) и (9) построим уравнение

$$\Gamma_{jt}(u_1, u_2) = \Omega_{jt}(v_2 - v_1 + p_{2t_1}(\theta_2), \theta_1, \theta_2) = 0, \quad j \in T_1, \quad t \in T_2. \quad (10)$$

Очевидно, что если точка  $(u_1, u_2) \in R^{12}$  удовлетворяет равенству (10), то  $e_{1j}(u_1), e_{2t}(u_2) \subset E_{jt}$ .

Пусть плоскость  $E_{jt}$  делит пространство  $R^3$  на положительное  $\Pi_{jt}^+$  и отрицательное  $\Pi_{jt}^-$  полупространства. Следует отметить, что функция  $\Gamma_{jt}(u_1, u_2)$  используется в формировании Ф-функции в одном из случаев, когда  $P_2(u_2) \subset \Pi_{jt}^+$  и  $P_1(u_1) \subset \Pi_{jt}^-$  или  $P_2(u_2) \subset \Pi_{jt}^-$  и  $P_1(u_1) \subset \Pi_{jt}^+$ .

Чтобы определить условие участия  $\Gamma_{jt}(u_1, u_2)$  в формировании Ф-функции, достаточно вычислить значения уравнения (9) в вершинах  $\tilde{p}_{1j_1}^1(\theta_1)$  и  $\tilde{p}_{1j_1}^2(\theta_1)$ , смежных к вершине  $p_{1j_1}(\theta_1)$  ребра  $e_{1j}(\theta_1)$  многогранника  $P_1(u_1)$ , а также в вершинах  $\tilde{p}_{2t_1}^1(\theta_2)$  и  $\tilde{p}_{2t_1}^2(\theta_2)$ , смежных к вершине  $p_{2t_1}(\theta_2)$  ребра  $e_{2t}(\theta_2)$  многогранника  $P_2(u_2)$  (рис. 5).

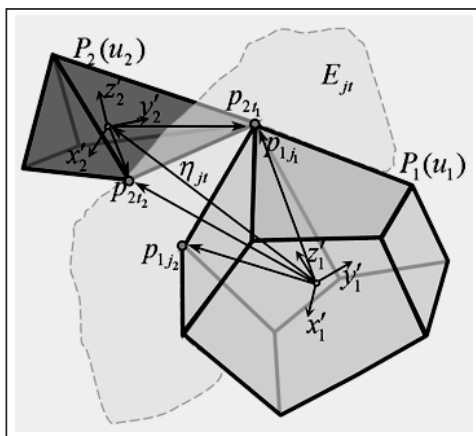


Рис. 4. Построение разделяющей плоскости для третьего вида касания

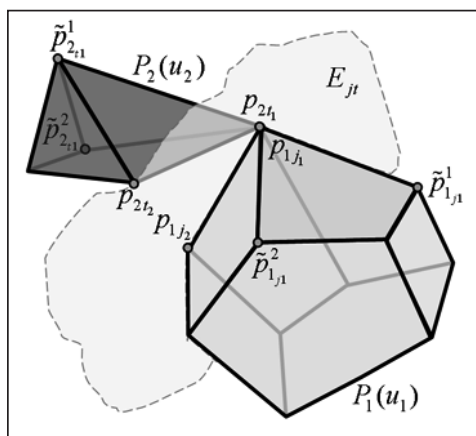


Рис. 5. Вершины, в которых проверяется условие участия  $\Gamma_{jt}(u_1, u_2)$  в формировании Ф-функции

На основании изложенного построим функцию

$$F_{3jt}(u_1, u_2) = \begin{cases} \Gamma_{jt}(u_1, u_2), & \text{если } \chi_{1jt}(\theta_1, \theta_2) \geq 0, \\ -\Gamma_{jt}(u_1, u_2), & \text{если } \chi_{2jt}(\theta_1, \theta_2) \geq 0, \\ \sigma, & \text{если } \chi_{3jt}(\theta_1, \theta_2) < 0, \end{cases} \quad (11)$$

где

$$\chi_{1jt}(\theta_1, \theta_2) = \min \{-\Omega_{jt}(\tilde{p}_{1j}^i(\theta_1), \theta_1, \theta_2), \Omega_{jt}(\eta_{jt} + \tilde{p}_{2j}^i(\theta_2), \theta_1, \theta_2), i=1,2\},$$

$$\chi_{2jt}(\theta_1, \theta_2) = \min \{\Omega_{jt}(\tilde{p}_{1j}^i(\theta_1), \theta_1, \theta_2), -(\Omega_{jt}(\eta_{jt} + \tilde{p}_{2j}^i(\theta_2), \theta_1, \theta_2)), i=1,2\},$$

$$\chi_{3jt}(\theta_1, \theta_2) = \max \{\chi_{1jt}(\theta_1, \theta_2), \chi_{2jt}(\theta_1, \theta_2)\}.$$

Поскольку любая Ф-функция ограничена снизу для ограниченных геометрических объектов, то  $\sigma < \min \Phi(u_1, u_2)$ . Это значит, что  $\Gamma_{jt}(u_1, u_2)$  принимает участие в формировании  $\Phi(u_1, u_2)$  только в случае, если  $\chi_{3jt}(\theta_1, \theta_2) \geq 0$ .

Следует отметить, что плоскость  $E_{jt}$  разделяет  $P_1(u_1)$  и  $P_2(u_2)$ , когда  $F_{3jt}(u_1, u_2) \geq 0$ .

Основываясь на выражении (11), построим функцию

$$\Psi_3(u_1, u_2) = \max \{F_{3jt}(u_1, u_2), \\ j \in T_1, t \in T_2\}, \quad (12)$$

которая обладает следующим свойством: если  $\Psi_3(u_1, u_2) \geq 0$ , то многогранники  $P_1(u_1)$  и  $P_2(u_2)$  не пересекаются.

Поскольку рассмотренные три вида касаний позволяют описать все возможные виды касания, то на основании функций (6), (8) и (12) Ф-функция для двух неориентированных выпуклых многогранников может быть представлена следующим образом:

$$\Phi(u_1, u_2) = \max \{\Psi_i(u_1, u_2), i=1,2,3\} = \\ = \max \{\min \{F_{1pj}(u_1, u_2), j \in J_1\}, p \in K_1, \min \{F_{2kj}(u_1, u_2), j \in J_2\}, \\ k \in K_2, F_{3jt}(u_1, u_2), j \in T_1, t \in T_2\}. \quad (13)$$

Рассмотрим пример. Функция (13) может быть использована при построении математической модели задачи упаковки неориентированных параллелепипедов в параллелепипед для аналитического описания двух основных видов ограничений задачи:

- 1) попарного непересечения размещаемых параллелепипедов;
- 2) принадлежности каждого параллелепипеда области размещения.

Первый тип ограничения можно формализовать, используя Ф-функцию для двух неориентированных параллелепипедов:

$$P_i = \{(x, y, z) \in R^3 : -l_i \leq x \leq l_i, -w_i \leq y \leq w_i, -h_i \leq z \leq h_i\}, i=1,2.$$

В этом случае функция (6) примет вид

$$\Psi_1(u_1, u_2) = \max \{\min \{F_{1pj}(u_1, u_2), j \in \{1,2,\dots,8\}\}, p \in \{1,2,\dots,6\}\},$$

где

$$F_{11j}(u_1, u_2) = g'_{11}(g_2 p_{2j}^T + x) + g'_{12}(r_2 p_{2j}^T + y) + g'_{13}(q_2 p_{2j}^T + z) - l_1,$$

$$F_{12j}(u_1, u_2) = -g'_{11}(g_2 p_{2j}^T + x) - g'_{12}(r_2 p_{2j}^T + y) - g'_{13}(q_2 p_{2j}^T + z) - l_1,$$

$$F_{13j}(u_1, u_2) = r'_{11}(g_2 p_{2j}^T + x) + r'_{12}(r_2 p_{2j}^T + y) + r'_{13}(q_2 p_{2j}^T + z) - w_1,$$

$$\begin{aligned}
F_{14j}(u_1, u_2) &= -r'_{11}(g_2 p_{2j}^T + x) - r'_{12}(r_2 p_{2j}^T + y) - r'_{13}(q_2 p_{2j}^T + z) - w_1, \\
F_{15j}(u_1, u_2) &= q'_{11}(g_2 p_{2j}^T + x) + q'_{12}(r_2 p_{2j}^T + y) + q'_{13}(q_2 p_{2j}^T + z) - h_1, \\
F_{16j}(u_1, u_2) &= -q'_{11}(g_2 p_{2j}^T + x) - q'_{12}(r_2 p_{2j}^T + y) - q'_{13}(q_2 p_{2j}^T + z) - h_1, \\
x &= x_2 - x_1, \quad y = y_2 - y_1, \quad z = z_2 - z_1.
\end{aligned}$$

Функция (8) примет вид

где

$$\begin{aligned}
\Psi_2(u_1, u_2) &= \max \{ \min \{ F_{2kj}(u_1, u_2), j \in \{1, 2, \dots, 8\}, k \in \{1, 2, \dots, 6\} \}, \\
F_{21j}(u_1, u_2) &= g'_{21}(x - g_1 p_{1j}^T) + g'_{22}(y - r_1 p_{1j}^T) + g'_{23}(z - q_1 p_{1j}^T) - l_2, \\
F_{22j}(u_1, u_2) &= -g'_{21}(x - g_1 p_{1j}^T) - g'_{22}(y - r_1 p_{1j}^T) - g'_{23}(z - q_1 p_{1j}^T) - l_2, \\
F_{23j}(u_1, u_2) &= r'_{21}(x - g_1 p_{1j}^T) + r'_{22}(y - r_1 p_{1j}^T) + r'_{23}(z - q_1 p_{1j}^T) - w_2, \\
F_{24j}(u_1, u_2) &= -r'_{21}(x - g_1 p_{1j}^T) - r'_{22}(y - r_1 p_{1j}^T) - r'_{23}(z - q_1 p_{1j}^T) - w_2, \\
F_{25j}(u_1, u_2) &= q'_{31}(x - g_1 p_{1j}^T) + q'_{32}(y - r_1 p_{1j}^T) + q'_{33}(z - q_1 p_{1j}^T) - h_2, \\
F_{26j}(u_1, u_2) &= -q'_{31}(x - g_1 p_{1j}^T) - q'_{32}(y - r_1 p_{1j}^T) - q'_{33}(z - q_1 p_{1j}^T) - h_2.
\end{aligned}$$

Функция (12) примет вид

$$\Psi_3(u_1, u_2) = \max \{ F_{3jt}(u_1, u_2), j, t \in \{1, 2, \dots, 12\} \},$$

где

$$F_{3jt}(u_1, u_2) = \begin{cases} \Gamma_{jt}(u_1, u_2), & \text{если } \chi_{1jt}(\theta_1, \theta_2) \geq 0, \\ -\Gamma_{jt}(u_1, u_2), & \text{если } \chi_{2jt}(\theta_1, \theta_2) \geq 0, \\ \sigma, & \text{если } \chi_{3jt}(\theta_1, \theta_2) < 0, \end{cases}$$

$$\sigma = \max \{ 2l_i, 2w_i, 2h_i, i = 1, 2 \}.$$

Тогда Ф-функцию для двух параллелепипедов можно записать в виде

$$\begin{aligned}
\Phi(u_1, u_2) &= \max \{ \min \{ F_{1pj}(u_1, u_2), j \in \{1, 2, \dots, 8\} \}, \min \{ F_{2kj}(u_1, u_2), \\
&j \in \{1, 2, \dots, 8\}, p, k \in \{1, 2, \dots, 6\}; F_{3jt}(u_1, u_2), j, t \in \{1, 2, \dots, 12\} \}.
\end{aligned}$$

Второй тип ограничения можно формализовать, используя Ф-функцию для неориентированного параллелепипеда  $P_i = \{(x, y, z) \in R^3: -l_i \leq x \leq l_i, -w_i \leq y \leq w_i, -h_i \leq z \leq h_i\}$  и объекта  $cl(R^3 \setminus S)$ , где  $S = \{(x, y, z) \in R^3: -l \leq x \leq l, -w \leq y \leq w, -h \leq z \leq h\}$  — область размещения, представленная в виде параллелепипеда. При этом полюс параллелепипеда  $S$  совпадает с началом системы координат  $Oxuz$ . Тогда Ф-функция для  $P_i$  и объекта  $cl(R^3 \setminus S)$  примет вид

$$\Psi(u_i) = \min \{ F_{kj}(u_i), k \in \{1, 2, \dots, 6\}, j \in \{1, 2, \dots, 8\} \},$$

где

$$\begin{aligned}
F_{1j}(u_i) &= -x_i - g_i p_{ij}^T + l, \quad F_{2j}(u_i) = x_i - g_i p_{ij}^T + l, \\
F_{3j}(u_i) &= -y_i - r_i p_{ij}^T + w, \\
F_{4j}(u_i) &= y_i - r_i p_{ij}^T + w, \quad F_{5j}(u_i) = -z_i - q_i p_{ij}^T + h, \\
F_{6j}(u_i) &= z_i - q_i p_{ij}^T + h.
\end{aligned}$$



## ЗАКЛЮЧЕНИЕ

На основе построенной  $\Phi$ -функции (13) легко можно построить  $\Phi$ -функцию для пары неориентированных невыпуклых многогранников. Для построения такой  $\Phi$ -функции необходимо воспользоваться методом построения  $\Phi$ -функции для сложных геометрических объектов [17].

Представленная в работе  $\Phi$ -функция (13) позволяет строить математические модели оптимизационных задач размещения неориентированных многогранников, в которых область допустимых решений оптимизационной задачи может быть представлена в виде объединения подобластей. При этом каждая такая под-область описывается системой неравенств, левые части которых являются непрерывными бесконечно дифференцируемыми функциями. Это свойство дает возможность использовать современные методы оптимизации для решения прикладных оптимизационных задач упаковки неориентированных многогранников.

## СПИСОК ЛИТЕРАТУРЫ

1. Стоян Ю.Г., Яковлев С.В. Математические модели и оптимизационные методы геометрического проектирования. — К.: Наук. думка, 1986. — 268 с.
2. Mayer N., Fogel E., Halperin D. Fast and robust retrieval of Minkowski sums of rotating convex polyhedra in 3-space // Proceedings of the 14-th ACM Symposium on Solid and Physical Modeling. — Haifa, Israel, 2010. — P. 1–10.
3. Takayuki O. Approaches to 3D free-form cutting and packing problems and their applications: A survey. — Tokyo: IBM Research Laboratory, 1998. — P. 13.
4. Egeblad J., Nielsen B.K., Brazil M. Translational packing of arbitrary polytopes // Computational Geometry: Theory and Applications. — 2009. — **42**, N 4. — P. 269–288.
5. Torquato S., Stillinger F.H. Jammed hard-particle packings: From Kepler to Bernal and beyond // Reviews of Modern Physics. — 2010. — **82**, N 3. — P. 2633–2672.
6. Gan M., Gopinathan N., Jia X., Williams R.A. Predicting packing characteristics of particles of arbitrary shapes // KONA. — 2004. — N 22. — P. 82–93.
7. Дорошенко В.С. 3D-технологии в литейном производстве // Винахідник і раціоналізатор. — 2009. — № 2. — С. 12–15.
8. Eisenbrand F., Funke S., Karrenbauer A., Reichel J., Schömer E. Packing a trunk — now with a twist! // Proceedings SPM 2005 ACM Symposium on Solid and Physical Modeling. — New York, USA, 2005. — P. 197–206.
9. Betke U., Henk M. Densest lattice packings of 3-polytopes // Computational Geometry. — 2000. — **16**, N 3. — P. 157–186.
10. Bennell J., Oliveira J. The geometry of nesting problems: A tutorial // European Journal of Operational Research. — 2008. — N 184. — P. 397–415.
11. Stoyan Yu.G.  $\Phi$ -function and its basic properties // Докл. НАН Украины. Сер. А. — 2001. — N 8. — С. 112–117.
12. Chernov N., Stoyan Y., Romanova T. Mathematical model and efficient algorithms for object packing problem // Computational Geometry: Theory and Applications. — 2010. — **43**, N 5. — P. 535–553.
13. Стоян Ю.Г., Романова Т.Е., Шайтхауэр Г. Математическое моделирование взаимодействий базовых геометрических 3D объектов // Кибернетика и системный анализ. — 2005. — № 3. — С. 19–31.
14. Stoyan Y., Terno J., Scheithauer G., Gil M., Romanova T. Construction of a  $\Phi$ -function for two convex polytopes // Applicationes Mathematicae. — 2002. — **29**, N 2. — P. 199–218.
15. Stoyan Yu., Pankratov A., Scheithauer G. Translational packing non-convex polytopes into a parallelepiped // Journal of Mechanical Engineering. — 2009. — **12**, N 3. — С. 67–76.
16. Куратовский К. Топология. — Т. 1. — М.: Мир, 1966. — 594 с.
17. Stoyan Y., Scheithauer G., Gil M., Romanova T.  $\Phi$ -function for complex 2D objects // 4OR. Quarterly Journal of the Belgian, French and Italian Operations Research Societies. — 2004. — **2**, N 1. — P. 69–84.

*Поступила 06.04.2011*